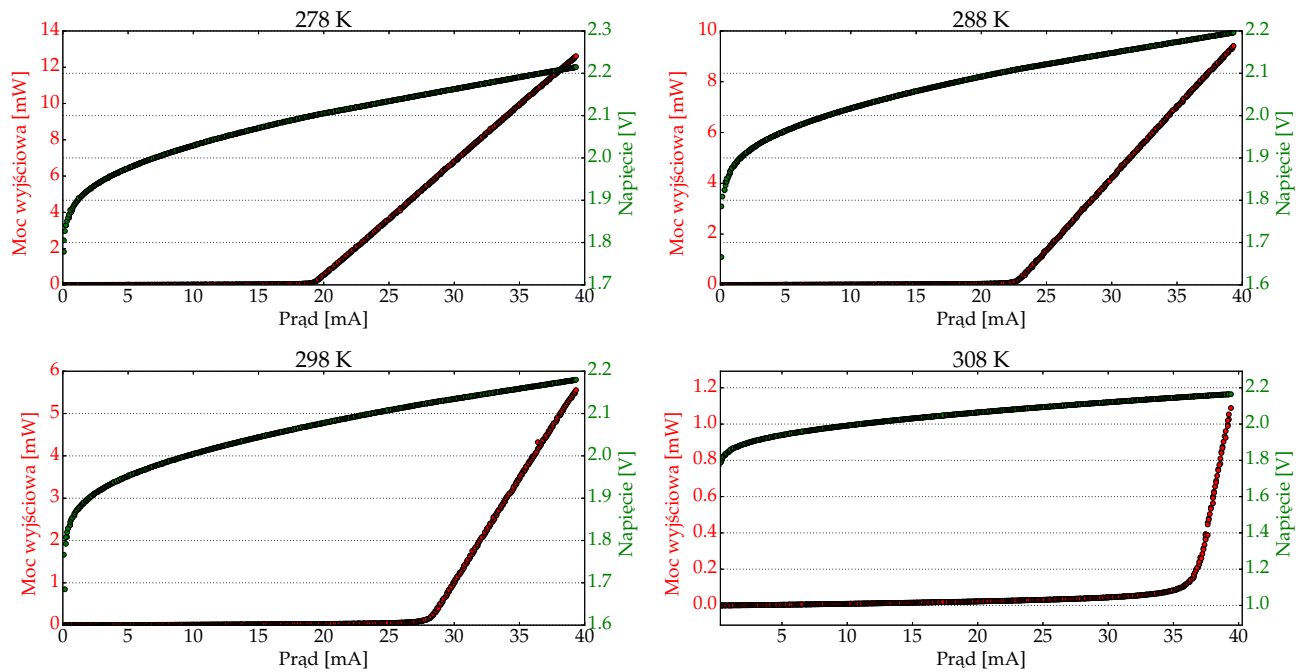


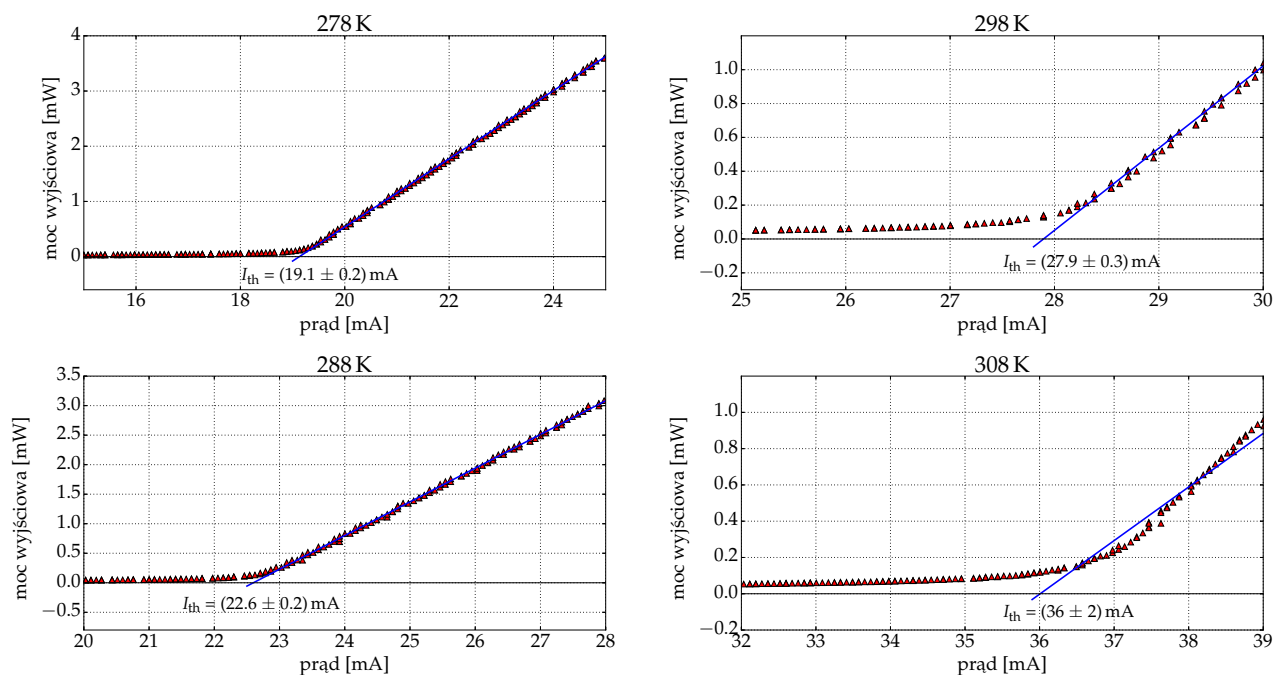
Tabela 1: Wyznaczone wartości prądu progowego  $I_{th}$  w różnych temperaturach  $T$  dla lasera krawędziowego 635 nm.

$T$ [K]	278	283	288	293	298	303	308
$I_{th}$ [mA]	$19.1 \pm 0.2$	$20.7 \pm 0.2$	$22.6 \pm 0.2$	$25.0 \pm 0.2$	$27.9 \pm 0.3$	$31.4 \pm 0.5$	$36 \pm 2$

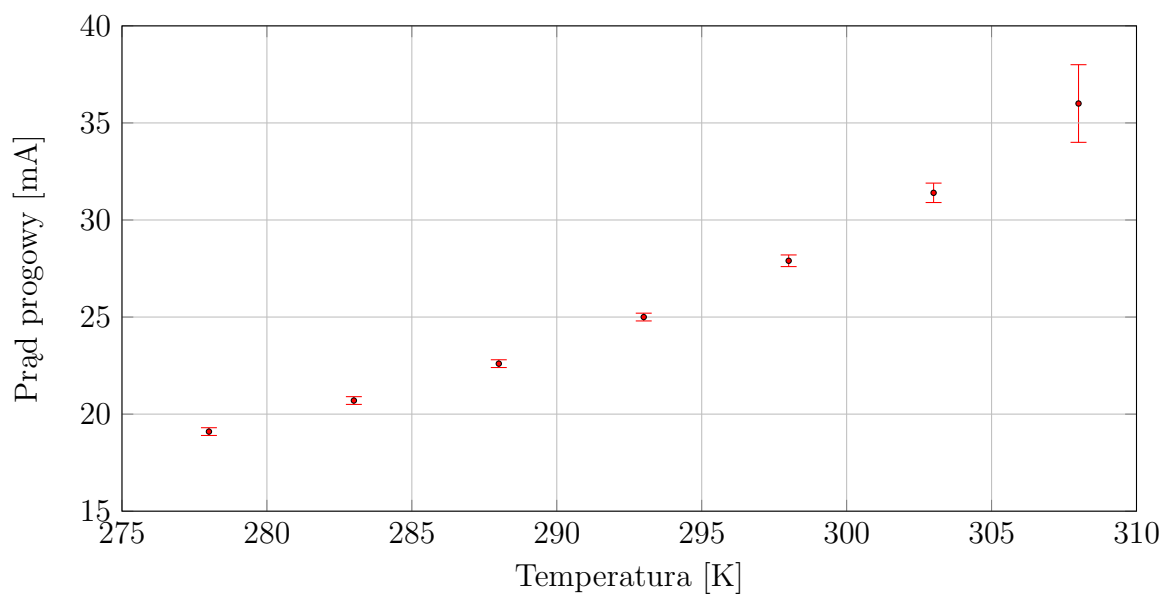


Rysunek 1: Wykres napięcia i mocy od prądu dla lasera krawędziowego 635 nm.

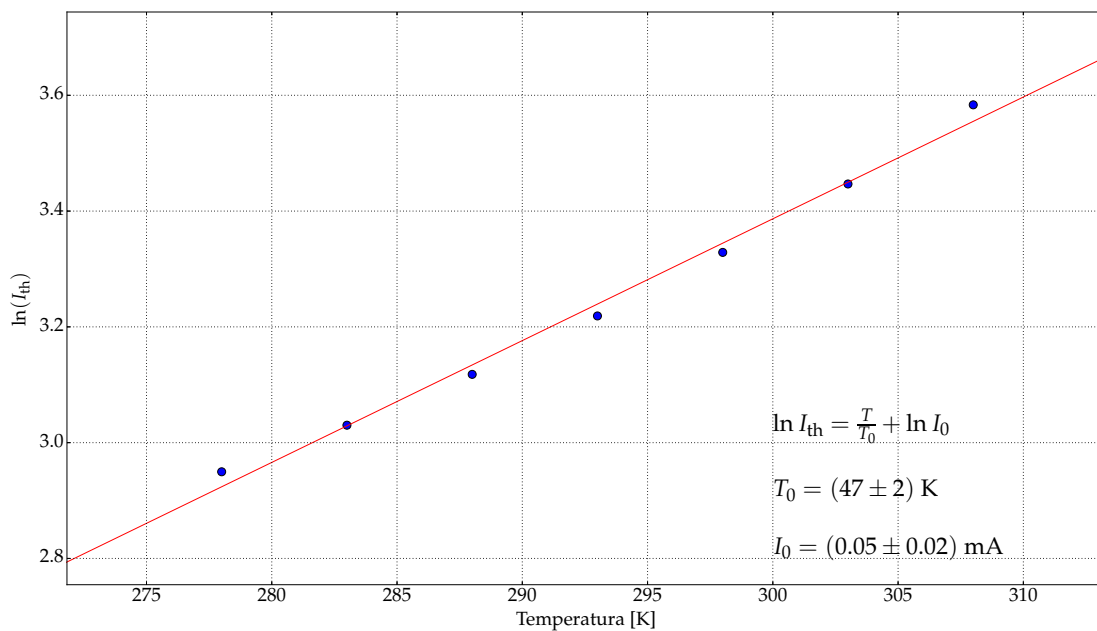
## 0.1 Laser 635 nm



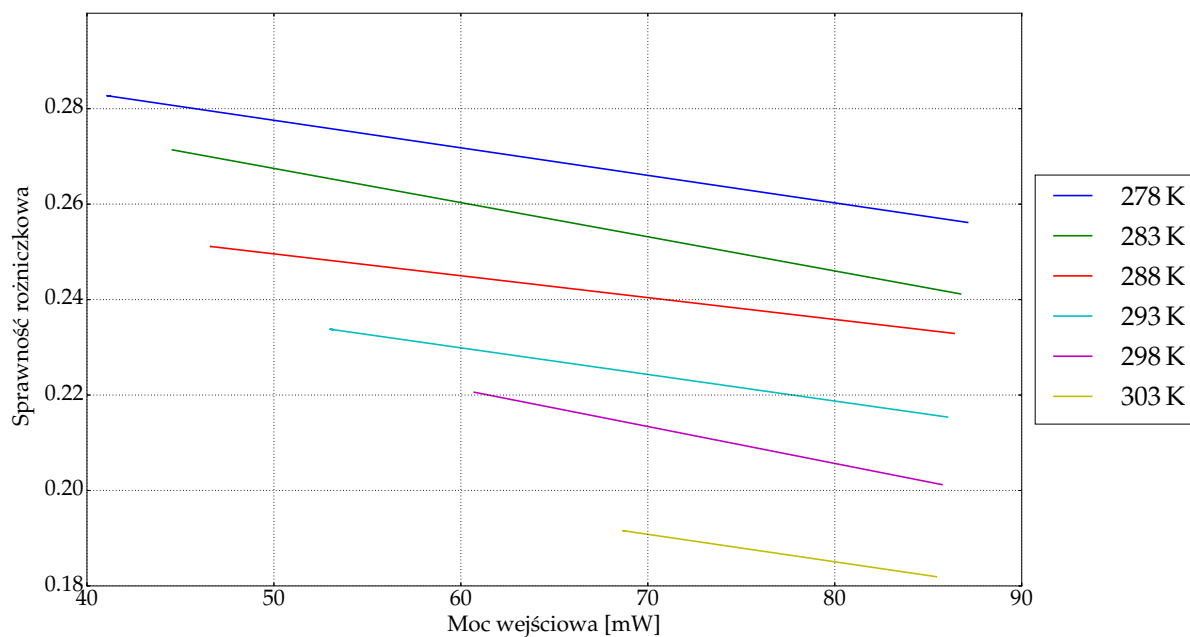
Rysunek 2: Wykres prądu progowego dla lasera krawędziowego 635 nm.



Rysunek 3: Wykres prądu progowego od temperatury dla lasera krawędziowego 635 nm.



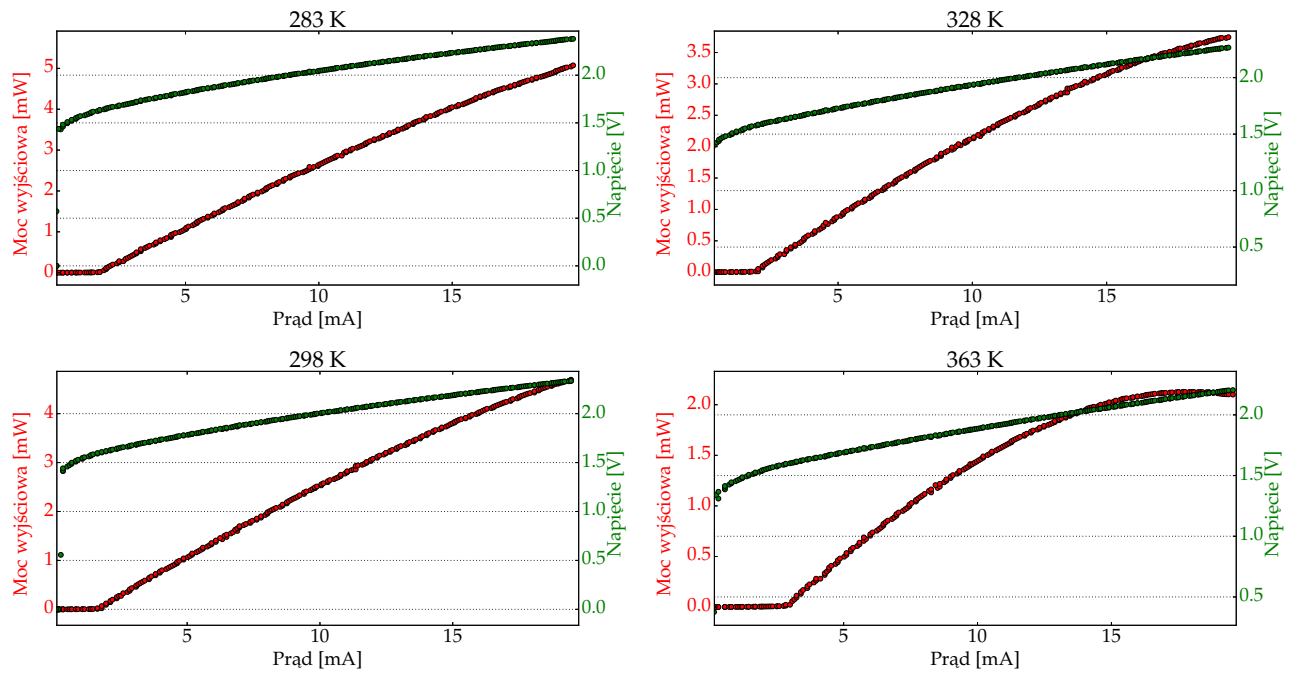
Rysunek 4: Wykres prądu progowego z dopasowanymi wartościami  $I_0$  i  $T_0$  dla lasera krawędziowego 635 nm.



Rysunek 5: Wykres sprawności w funkcji mocy wejściowej dla lasera krawędziowego 635 nm.

Tabela 2: Wyznaczone wartości prądu progowego  $I_{th}$  w różnych temperaturach  $T$  dla lasera VCSEL 850 nm.

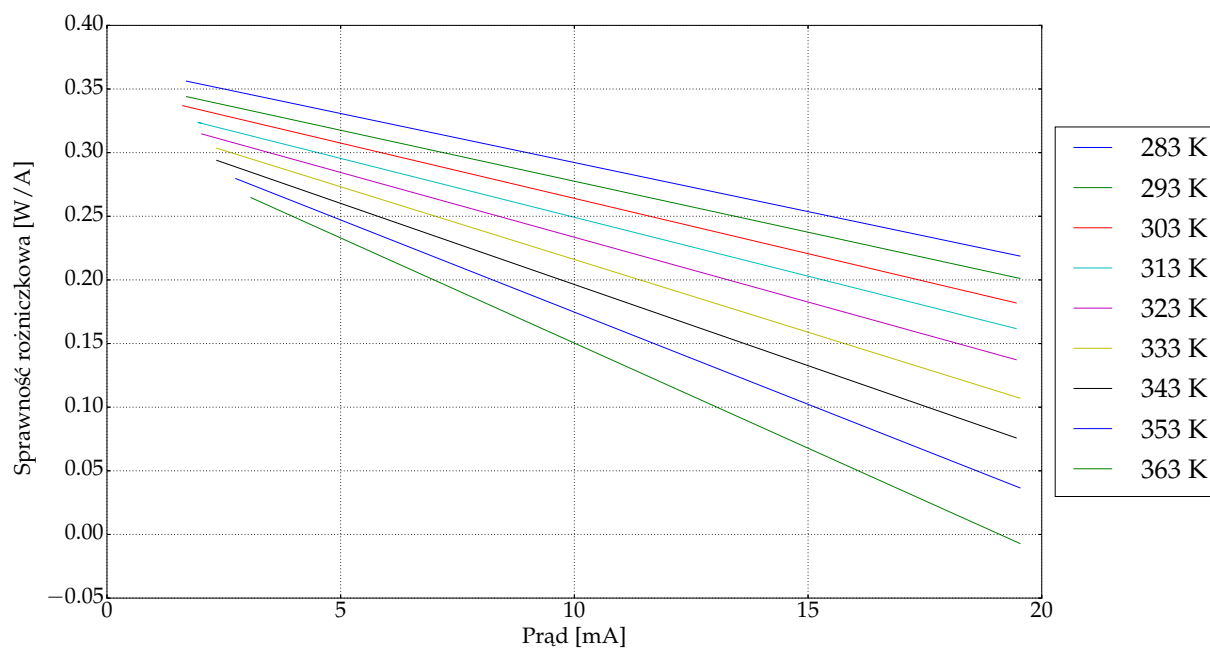
$T$ [K]	$I_{th}$ [mA]	$T$ [K]	$I_{th}$ [mA]	$T$ [K]	$I_{th}$ [mA]
283	$1.70 \pm 0.03$	288	$1.67 \pm 0.03$	293	$1.60 \pm 0.03$
298	$1.55 \pm 0.04$	303	$1.59 \pm 0.03$	308	$1.63 \pm 0.03$
313	$1.65 \pm 0.03$	318	$1.68 \pm 0.04$	323	$1.73 \pm 0.04$
328	$1.83 \pm 0.04$	333	$1.89 \pm 0.04$	338	$2.01 \pm 0.04$
343	$2.14 \pm 0.04$	348	$2.24 \pm 0.05$	353	$2.38 \pm 0.05$
358	$2.57 \pm 0.05$	363	$2.74 \pm 0.07$		



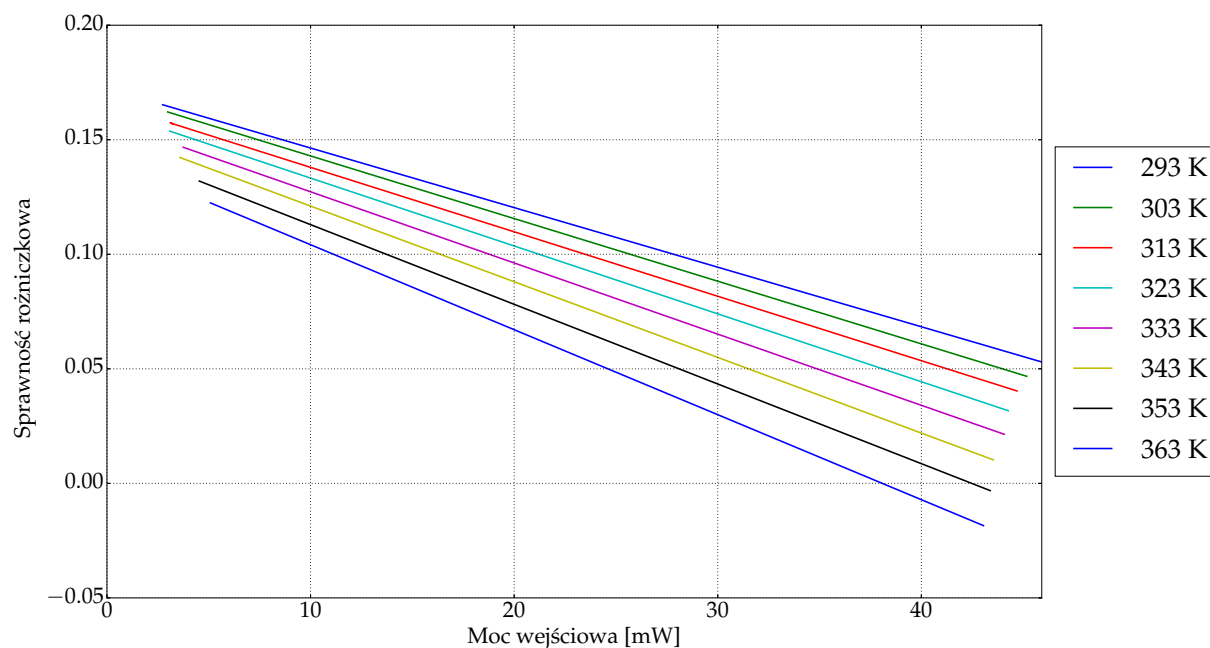
Rysunek 6: Sprawność VCSEL 850.

## 0.2 Laser VCSEL 850 nm

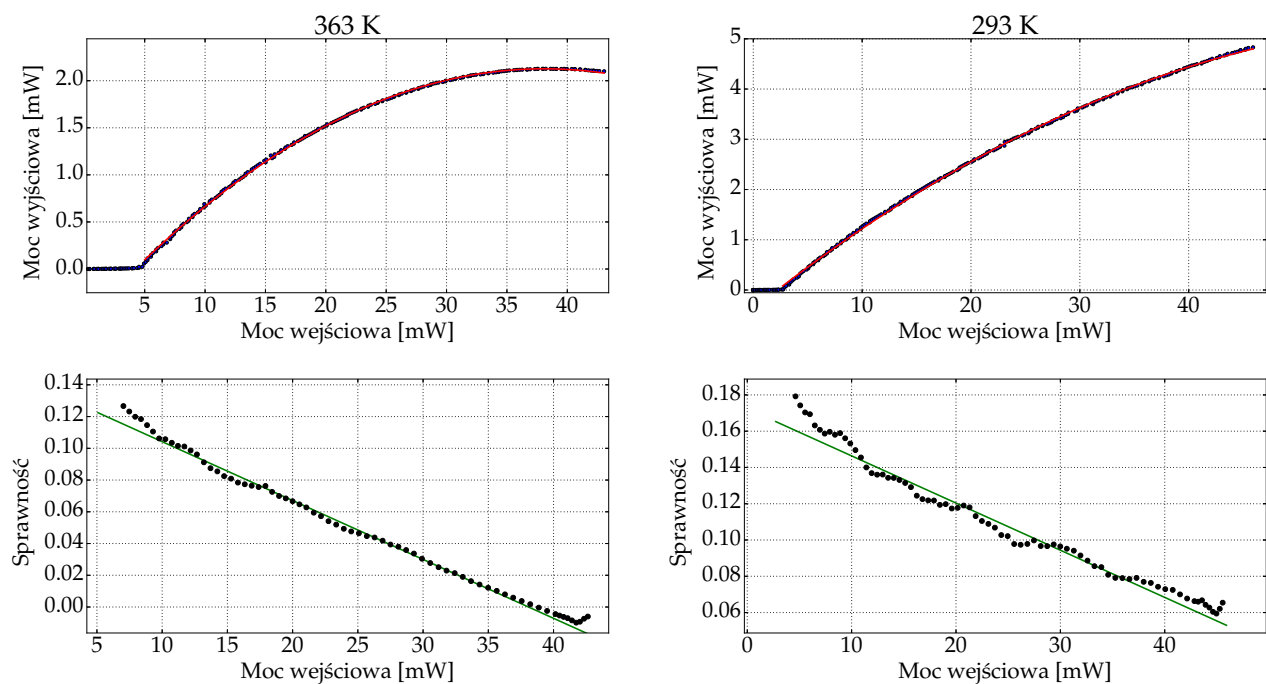
Rysunki 6 - 11 przedstawiają wykresy dla lasera VCSEL 850 nm.



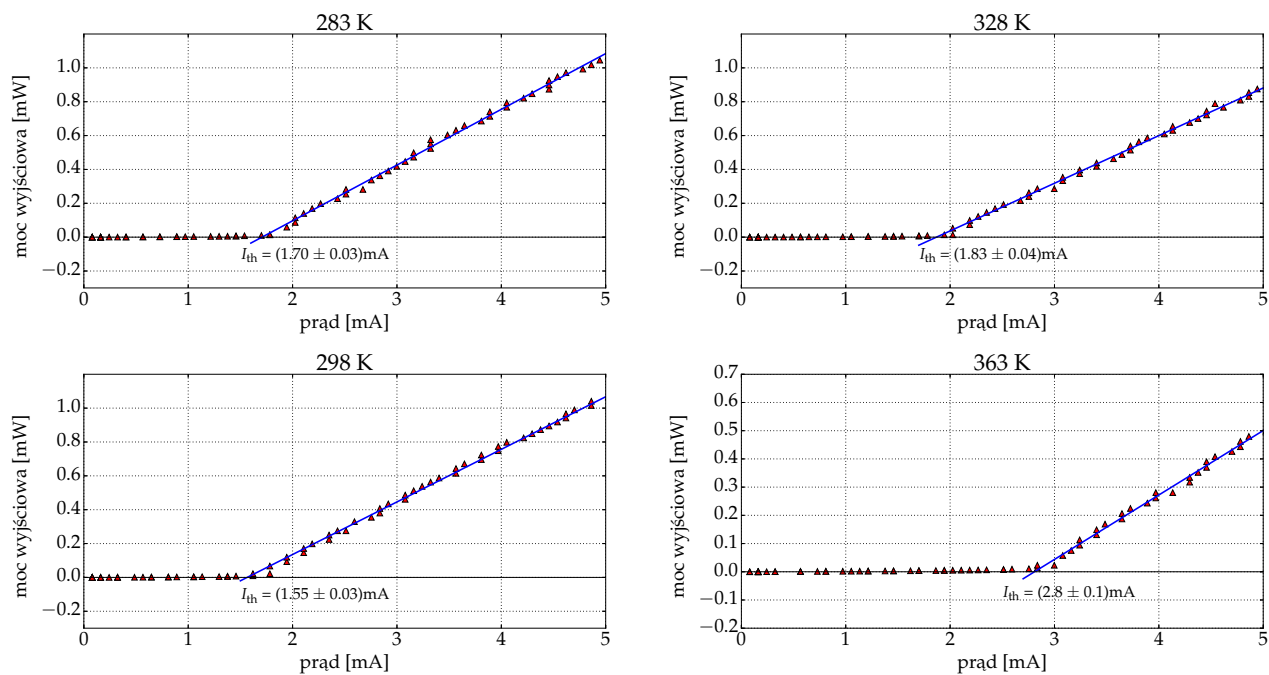
Rysunek 7: Sprawność VCSEL 850 w funkcji prądu.



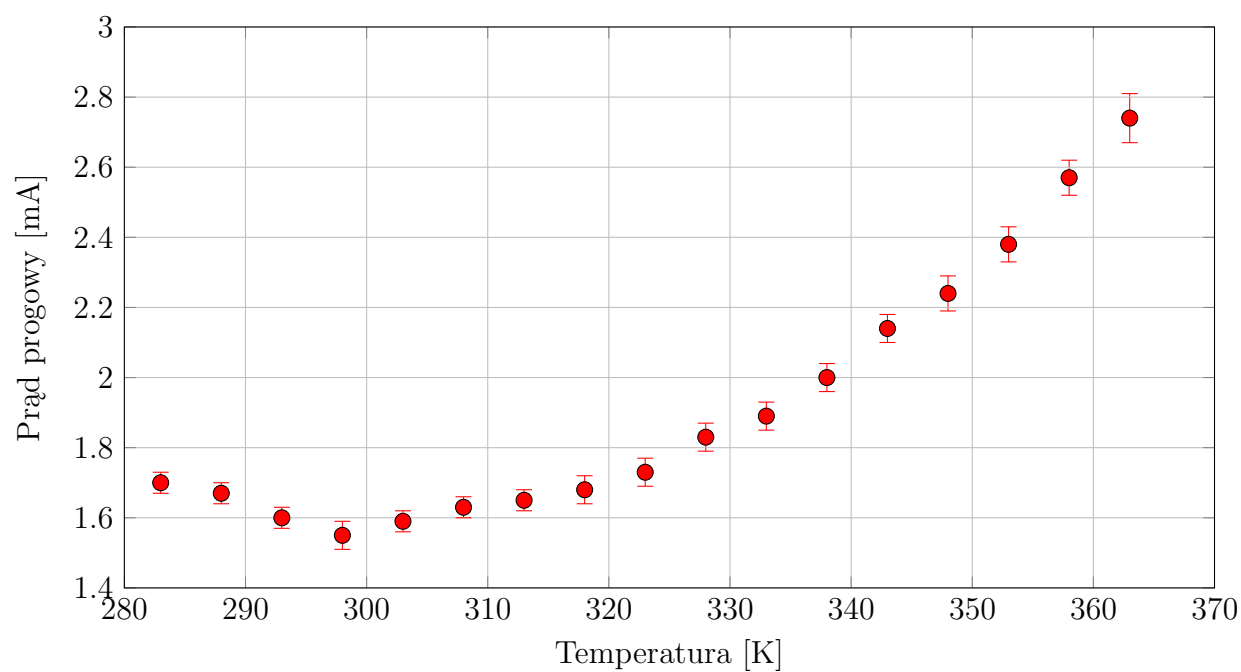
Rysunek 8: Sprawność VCSEL 850 w funkcji mocy wejściowej.



Rysunek 9: Sprawność VCSEL 850 dla temperatury 293 K i 363 K.



Rysunek 10: Wykres prądu progowego od temperatury z wyznaczonymi progami prądu dla lasera VCSEL 850 nm.



Rysunek 11: Wykres prądu progowego od temperatury dla lasera VCSEL 850 nm.